

矩形板の変形公式

九州大学 正員 山崎 徳也
 " 学生員 太田 雄昭
 " 学生員 O馬場光勝弘

1. 序言 変形法による板解法の一つとしてこれを格子構造で置換して解く方法⁽¹⁾が知られていました。あまり頗り見られていない。その理由は、精度をあがめるために格子の格間長を相当小さくしなければならぬため、全体の節点数が必然的に多くなり、電子計算機を利用する場合のプログラム作成時に掛かり、境界条件に応じ節点ごとに力およびモーメントの釣合式を求めて、膨大な数にかかる多元連立方程式の係数をいちいち確定しなければならず、とにかくその手間が極めて煩わしいばかりか、誤りを犯す可能性も著しく大きくなる点にある。これらの難点を排除するために著者らは、上記釣合式を自動的に作成しうるプログラムを考案し、これを用いて弹性支承を有する矩形板の変形公式を求め、板と梁とで構成される一般構造物を極めて簡単な代数的解析手法である変形法によって解くことを試みた。本論文はそのうち板の面外変形に関する解析を提示するものである。

2. 置換格子の剛度 いま、図-1(a)に示すごとく入板の微小矩形板と、これと力学的に等価な格子構造とを考え。格子構造部材の曲げ剛性 EI_b, EI_c, EI_d およびねじ剛性 GI_b, GI_c, GI_d の値を表す。この二つの变形が算式(1)の条件より、それそれ次のように決定する。ただし、格子構造の斜材は接続には抵抗しないものとする。まず、微小矩形板のモーメントと固軸角の関係は次式で与えられる。

(図-1(b),(c),(d)参照)

$$\left. \begin{aligned} \theta_1 &= \frac{\lambda \lambda M_1}{(R^3/12) E}, & \theta_2 &= \frac{\mu \lambda M_1}{(R^3/12) E}, & \theta_3 &= \frac{\lambda M_2}{(R^3/12) E} \\ \theta_4 &= \frac{\mu \lambda M_2}{(R^3/12) E}, & \theta_5 &= \frac{(1+\mu)\lambda K H}{(R^3/12) E} \end{aligned} \right\}$$

…… (1)

R は板の厚さ、 μ はアリヤン比。一方、格子構造では、これらの関係は次のようにとくられる。(図-1(e),(f),(g)参照)

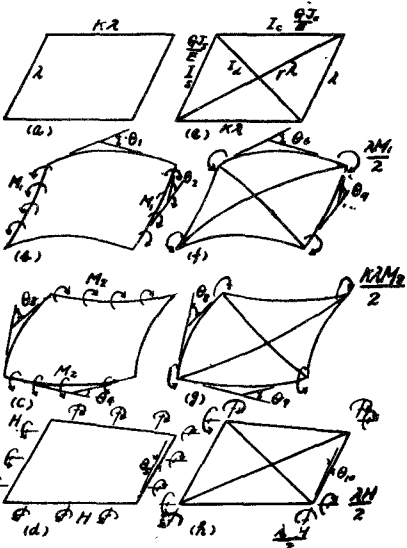


図-1

$$\left. \begin{aligned} \theta_1 &= \frac{\lambda^2 K M_1}{2E} \cdot \frac{r^2 I_s + I_d}{r^2 I_c I_s + I_c I_d + K^2 I_d I_s}, & \theta_2 &= \frac{\lambda^2 K^2 M_1}{2E} \cdot \frac{I_d}{r^2 I_c I_s + I_c I_d + K^2 I_d I_s} \\ \theta_3 &= \frac{\lambda^2 K M_2}{2E} \cdot \frac{r^2 I_c + K^2 I_d}{r^2 I_c I_s + I_c I_d + K^2 I_d I_s}, & \theta_4 &= \frac{\lambda^2 K^2 M_2}{2E} \cdot \frac{I_d}{r^2 I_c I_s + I_c I_d + K^2 I_d I_s} \\ \theta_5 &= \frac{H r^2 K \lambda^2}{2E(r^2(GI_c)/E + 2I_d K)} \end{aligned} \right\} \quad \dots \dots \dots \quad (2)$$

明らかに、 $\theta_1 = \theta_6, \theta_2 = \theta_7, \theta_3 = \theta_8, \theta_4 = \theta_5, \theta_5 = \theta_6$ であるゆえ、式(1),(2)より、格子構造部材の

曲げおよびねじり剛性が次の式で求められる。

$$\left. \begin{aligned} EI_s &= \frac{(K^2 - \mu^2) \lambda}{2K(1-\mu^2)} \frac{ER^3}{12}, \quad EI_c = \frac{(1-K^2)\lambda}{2(1-\mu^2)} \frac{ER^3}{12}, \quad EI_d = \frac{\mu K^2 \lambda}{2K(1-\mu^2)} \frac{ER^3}{12} \\ GJ_e &= \frac{(1-3\mu)\lambda}{2(1-\mu^2)} \frac{ER^3}{12}, \quad GJ_b = \frac{K(1-3\mu)\lambda}{2(1-\mu^2)} \frac{ER^3}{12} \end{aligned} \right\} \quad (3)$$

特に $K=1$ 、正方形板において $\mu=0.3$ とすれば、式(3)の I_s, I_c, I_d はそれぞれ次の値となる。

$$I_s = I_c = I_d = (\lambda R^3/24) \times 1.3, \quad I_d = (\sqrt{2}\lambda R^3/4) \times 0.1, \quad J_c = J_b = J_d = (\lambda R^3 E / 24G) \times 0.1$$

3. 単位節子構造の Stiffness Matrix 板構造物を節子構造で置換する場合、その構成単位として図-2 のように正方形の単位節子構造を採用すれば、以後の計算が極めて簡便となる。ここで、曲げ部材は周知の直線材たわみ式、ねじり部材は(1)の直角式を適用して、節点 A, B, C および D で、力およびモーメントの釣合式を立てれば、上記単位節子の変形公式が次の式とくわしく求められる。(力は X 方向に正、モーメントは X, Y の負軸に向かう時計回りを正とする)

$$\text{すなはち節点 A で、力およびモーメントの釣合式を求める} \quad \begin{aligned} \lambda P_A &= \lambda P_a, \quad \lambda M_{Aa}^x = M_a^x, \quad \lambda M_{Ab}^y = M_b^y \quad (\text{A は B, C および D の一般表示とす。}) \end{aligned}$$

上式を整理すると

$$\left. \begin{aligned} \lambda P_A &= (24K_0 + 6K_1)\bar{O}_A + (6K_0 + 3K_1)\bar{O}_A^2 + (6K_0 + 3K_1)\bar{O}_A^3 - 12K_0\bar{O}_B + 6K_0\bar{O}_B^2 - 6K_0\bar{O}_C + 3K_1\bar{O}_C^2 \\ &\quad - 12K_0\bar{O}_D + 6K_0\bar{O}_D^2 + C_{AB} + C_{AC} + (C_{AD} + C_{CD})\bar{H}_E - \lambda(P_{A0} + P_{A1} + P_{A2}) \\ M_A^x &= (6K_0 + 3K_1)\bar{O}_A + (4K_0 + 2K_1 + K_2)\bar{O}_A^2 + 2K_1\bar{O}_A^3 - K_2\bar{O}_B^2 - 3K_1\bar{O}_C + K_1\bar{O}_C^2 + K_1\bar{O}_C^3 - 6K_0\bar{O}_D \\ &\quad + 2K_0\bar{O}_D^2 + C_{AB} + C_{AC}/\sqrt{2} \\ M_A^y &= (6K_0 + 3K_1)\bar{O}_A + 2K_1\bar{O}_A^2 + (4K_0 + 2K_1 + K_2)\bar{O}_A^3 - 6K_0\bar{O}_B + 2K_0\bar{O}_B^2 - 3K_1\bar{O}_C + K_1\bar{O}_C^2 + K_1\bar{O}_C^3 \\ &\quad - K_2\bar{O}_D^2 + C_{AB} + C_{AC}/\sqrt{2} \end{aligned} \right\} \quad (4)$$

$K = EI/L$, $K_0 = EI/\lambda$, $K_1 = EI_d/\lambda$, $K_2 = GJ/\lambda$, $\bar{O} = \delta/\lambda$ である。以下同様に C, Z, 節点 B, C が 5° 0° で釣合式を立て、これらの結果をまとめると図-2 が表示される(すなはち結局 12 式となる)。

$$\left| \begin{array}{c|ccccc|cccccc|ccccc|c} \lambda P_a & C_{ab} & = & CC & BB & BB & -12K_0 & 0 & 6K_0 & -6K_1 & 3K_1 & 3K_1 & -12K_0 & 6K_0 & 0 & \bar{O}_a \\ M_A^x & C_{ac} & = & BB & AA & 2K_1 & 0 & -K_2 & 0 & -3K_1 & K_1 & K_1 & -6K_0 & 2K_0 & 0 & \bar{O}_1 \\ M_A^y & C_{ad} & = & BB & 2K_1 & AA & -6K_0 & 0 & -2K_0 & -3K_1 & K_1 & K_1 & 0 & 0 & -K_0 & \bar{O}_2 \\ \lambda P_b & C_{ab} & = & -12K_0 & 0 & -6K_0 & CC & BB & -BB & -12K_0 & 6K_0 & 0 & -6K_1 & 3K_1 & -3K_1 & \bar{O}_3 \\ M_B^x & C_{ac} & = & 0 & -K_2 & 0 & BB & AA & -2K_1 & -6K_0 & 2K_0 & 0 & -3K_1 & K_1 & -K_1 & \bar{O}_4 \\ M_B^y & C_{ad} & = & 6K_0 & 0 & -2K_0 & -BB & -2K_1 & AA & 0 & 0 & -K_2 & 3K_1 & -K_1 & K_1 & \bar{O}_5 \\ \lambda P_c & C_{ab} & = & -6K_1 & -3K_1 & -3K_1 & -12K_0 & -6K_0 & 0 & CC & -BB & -BB & -12K_0 & 0 & -6K_0 & C \\ M_C^x & C_{ac} & = & 3K_1 & K_1 & K_1 & 6K_0 & 2K_0 & 0 & -DB & AA & 2K_1 & 0 & K_2 & 0 & \bar{O}_6 \\ M_C^y & C_{ad} & = & 3K_1 & -K_1 & K_1 & 0 & 0 & -K_2 & -BB & -2K_1 & AA & 6K_0 & 0 & 2K_0 & B \\ \lambda P_d & C_{ab} & = & -12K_0 & -6K_0 & 0 & -6K_1 & -3K_1 & 3K_1 & -12K_0 & 0 & 6K_0 & CC & -BB & BB & \bar{O}_7 \\ M_D^x & C_{ac} & = & 6K_0 & 2K_0 & 0 & 3K_1 & K_1 & -K_1 & 0 & -K_2 & 0 & -BB & AA & -2K_1 & \bar{O}_8 \\ M_D^y & C_{ad} & = & 0 & 0 & -K_2 & -3K_1 & -K_1 & K_1 & -6K_0 & 0 & 2K_0 & BB & -2K_1 & AA & \bar{O}_9 \end{array} \right\} \quad (5)$$

RK^L , $AA = AK_0 + 2K_1 + K_2$, $BB = BK_0 + 3K_1$, $CC = CK_0 + 6K_1$ すなはち各構成要素を一括して表わせるとある。

さて、力おとしモーメントを $(F) = (AP \quad M^x \quad M^y)^T$ で、変形成分を $(U) = (\bar{U} \quad \theta^x \quad \theta^y)^T$ で一般表示すれば、式(3)は次のようく変形される。

$$(F) = \begin{bmatrix} F_A \\ F_B \\ F_C \\ F_D \end{bmatrix} = \begin{bmatrix} KA & KAB & KAC & KAD \\ KBA & KBA & KBC & KBD \\ KCA & KCB & KBC & KCD \\ KDA & KDB & KDC & KDD \end{bmatrix} \begin{bmatrix} U_A \\ U_B \\ U_C \\ U_D \end{bmatrix} \quad \cdots (4)$$

ここで K_{AB} ($i, k = A, B, C, D$) は 3×3 の小行列で、式(4)の係数行列において点線によって分割された各アロットに相当する。すなはち (F) は拘束項に肉盛り \bar{U} を含むものとする。

4. 変形公式の説明 構造機構に等肉隔に分割して構子構造に置換するに当たるとき、 i 列 j 行にあたる単位構子のアロット番号を便宜上 (i, j) で表わし、そのアロットの左下の構子節点を同じく (i, j) で一般表示するものとする。 $(\text{図}-3)$ 参照)。さて、構子構造の任意の節点 A における各力 F の釣合式を求めれば、 $\text{図}-3$ の式が得られる。

$$A(F_j^i)_A + B(F_j^{i+1})_B + C(F_j^{i+2})_C + D(F_j^{i+3})_D + (\bar{F}_j^i) = 0 \quad \cdots (5)$$

さて、上記式(5)は Z 方向の力の釣合式および X, Y 両軸に肉盛りモーメントの釣合式を包含して一般的に表示したものである。

一方、式(6)より

$$(F_j^i)_R = (K_{AB} \quad K_{AC} \quad K_{AD}) [(U_j^i)_A \quad (U_j^i)_B \quad (U_j^i)_C \quad (U_j^i)_D]^T \quad \cdots (6)$$

RK^L , $R = A, B, C, D$ すなはち式(6)の変形成分 $(U_j^i)_R$ は $\text{図}-3$ の式のことく一般的に構子節点番号で表わされる。

$$\left. \begin{aligned} (U_j^i)_A &= U_j^i, & (U_j^{i+1})_A &= U_j^{i+1}, & (U_j^{i+2})_A &= U_j^{i+2}, & (U_j^{i+3})_A &= U_j^{i+3} \\ (U_j^i)_B &= U_j^{i+1}, & (U_j^{i+1})_B &= U_j^i, & (U_j^{i+2})_B &= U_j^{i+3}, & (U_j^{i+3})_B &= U_j^{i+2} \\ (U_j^i)_C &= U_j^{i+2}, & (U_j^{i+2})_C &= U_j^{i+1}, & (U_j^{i+3})_C &= U_j^i, & (U_j^i)_C &= U_j^{i+4} \\ (U_j^i)_D &= U_j^{i+3}, & (U_j^{i+3})_D &= U_j^{i+2}, & (U_j^i)_D &= U_j^{i+1}, & (U_j^{i+1})_D &= U_j^i \end{aligned} \right\} \quad \cdots (7)$$

式(7)は式(6)(9)を代入のうえ整理すれば、次式となる。

$$\left[\begin{array}{cccccc} 0 & 0 & 0 & 0 & AK_0 & AK_0 & 0 & 0 \\ 0 & 0 & 0 & 0 & BK_0 & BK_0 & 0 & 0 \\ 0 & 0 & 0 & 0 & CK_0 & CK_0 & 0 & 0 \\ 0 & 0 & 0 & 0 & DK_0 & DK_0 & 0 & 0 \end{array} \right] \begin{bmatrix} U_{j+1}^{i+1} & U_{j+1}^i & U_{j+1}^{i+2} & U_{j+1}^{i+3} & U_j^i & U_j^{i+1} & U_j^{i+2} & U_j^{i+3} \end{bmatrix}^T + (\bar{F}_j^i) = 0 \quad \cdots (8)$$

したがって総合的釣合式は次のとおり連立方程式として求められる。(図-4 参照)

$$[(SK)_{j+1}^{i+1}, \quad (SK)_{j+1}^i, \quad (SK)_{j+1}^{i+2}, \quad (SK)_{j+1}^{i+3}, \quad U_{j+1}^{i+1}, \quad U_{j+1}^i, \quad U_{j+1}^{i+2}, \quad U_{j+1}^{i+3}]^T + (\bar{F}_j^i) = 0 \quad \cdots (9)$$

$$RK^L, i = 1, 2, \dots, p, j = 1, 2, \dots, 3, (\bar{F}_j^i) = \bar{F}_j^i + AC + BC_0 + CC + DC_0, C = (C, C_1, C_2, C_3)^T$$

$$\therefore (SK)_{j+1}^{i+1} = CK_0 + TK_0, (SK)_{j+1}^i = CK_0 + DK_0 + TK_0 + TK_0 + TK_0, (SK)_{j+1}^{i+2} = DK_0 + TK_0 + TK_0 + TK_0, (SK)_{j+1}^{i+3} = BK_0 + CK_0 + TK_0$$

$i-j$	$i-j+1$	$i-j+2$
$i-1$	i	$i+1$
i	$i+1$	$i+2$
$i+1$	$i+2$	$i+3$
$i-1$	i	$i+1$
i	$i+1$	$i+2$
$i+1$	$i+2$	$i+3$

図-3

1	2	3	i	\dots
$i-1$	i	$i+1$	$i+2$	$i+3$
i	$i+1$	$i+2$	$i+3$	$i+4$
$i+1$	$i+2$	$i+3$	$i+4$	$i+5$

図-4

$$\left. \begin{aligned} (SK)_j^i &= AK_{AA} + BK_{AB} + CK_{AC} + DK_{AD} + TU_{KA}^* + TU_{KB}^* + TU_{KC}^* + TU_{KD}^* - TL_{TA}K_{AA} \\ (SK)_j^{i+1} &= DK_{AC} + MK_{AB} + TU_{KA}^* + TU_{KB}^* + TL_{KA}^*, \quad (SK)_{j+1}^{i+1} = BK_{AB} \\ (SK)_{j+1} &= AK_{AD} + BK_{AC} + TL_{KA}^*, \quad (SK)_{j+1}^{i+1} = AK_{AC} + TL_{KA}^* \end{aligned} \right\} \quad (12)$$

よって、式(12)の係数 A, B, C, D, TL , および U^*, TU^* 、板の周辺の境界条件により定まる常数で、一例を示すば次の二通り内容を持つ。すなはち、対称線上の各節点におけるは

- (i) 上下対称: $A=B=TL=0, \quad C=D=TU=1$
- (ii) 左右対称: $A=D=TL=1, \quad C=B=TU=0$
- (iii) 上下、左右共対称: $A=B=C=0, \quad D=TU=TL=1$

次に各節点の変形成分に関する添字を更めて通し番号 N で示せば、図-3, 4 を参照して $N=3j(j+1)+i+j+1$ の3周筋式が成立する。ゆえ、式(iii)より容易に所要の連立方程式の係数行列が確定される。

$$[SK] \begin{bmatrix} U_1 \\ \vdots \\ U_N \end{bmatrix} = \begin{bmatrix} \bar{F}_1 \\ \vdots \\ \bar{F}_N \end{bmatrix} \quad \therefore \begin{bmatrix} U_1 \\ \vdots \\ U_N \end{bmatrix} = [SK^*] \begin{bmatrix} \bar{F}_1 \\ \vdots \\ \bar{F}_N \end{bmatrix} \quad \dots \quad (13)$$

よって、 $[SK^*] = [SK]^{-1}$

さて、例として、図-5 に示すとく 2 点 E, F に弹性支承を持たず、周辺任意境界条件の板の変形公式を求めれば以下の二通りである。すなはち、点 E, F に通し通路をそれぞれ $N=E, F$ とすれば、これらの点の変形成分 U_E, U_F は式(13)より

$$\begin{bmatrix} U_E \\ U_F \end{bmatrix} = [SK^*] \begin{bmatrix} \bar{F}_E \\ \bar{F}_F \end{bmatrix} = \sum_N \begin{bmatrix} SK_{EN} \\ SK_{FN} \end{bmatrix} \begin{bmatrix} \bar{F}_N \end{bmatrix}. \quad \dots \quad (14)$$

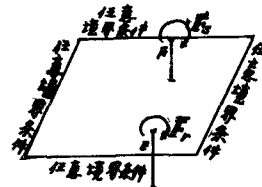


図-5

よって式(14)より E, F に弹性支承を持つ板の変形公式が結局次式でえられることとなる。

$$\begin{bmatrix} \bar{F}_E \\ \bar{F}_F \end{bmatrix} = [SK^*]^{-1} \begin{bmatrix} U_E \\ U_F \end{bmatrix} + \sum_N [SK^*]^{-1} \begin{bmatrix} SK_{EN} \\ SK_{FN} \end{bmatrix} \begin{bmatrix} \bar{F}_N \end{bmatrix} \quad \dots \quad (15) \quad \text{よって } [SK^*] = \begin{bmatrix} SK_{EE} & SK_{EF} \\ SK_{FE} & SK_{FF} \end{bmatrix}$$

かの3構造物を解くには上式(15)と柱に属する慣用たわみ角式とを併用の上 E, F 両点で力およびモーメントの釣合式を立てこれかよい。

5. 結び 本法の特色を挙げれば以下のこととく要約される。すなはち、
 - (i) 本法によれば周辺の境界条件の如何に向わず、一貫してプログラムで、自動的に所要の連立方程式の係数行列を確定しうること。
 - (ii) P, q の数は任意であり、節点数の多少は全く問題でなく、冒頭の懸念を一掃しえんこと。
 - (iii) 式(12)によると無限板の一般的な解法もまた可能とはなったこと。
 - (iv) 弹性支承の数ならびにその位置を任意に選べうるゆえ、本プログラムによると、各種変形公式が一括り求められることはなってこと。
 - (v) 上記変形公式を用うることによって、がんばり板としての特別な配慮をしなくても、これまでの手筋出した、骨組構造に対するためみ角法の手法をそのまま活用して、梁と板とで構成された不静定構造物を容易に解析することが可能になること。

(文献) 1) A. L. Yertram and H. M. Kuwain Grid-Framework Method for Plates in Flexure, Proc. of the A.S.C.E., 91, NO. EM.3, June, 1965